

II-51 山腹斜面浸透と浸透水が斜面安定に及ぼす影響について

名古屋大学 工学部 正 西知 順夫
水资源研究会員 正橋 桂

1 概説：近年、山地流域において、山腹斜面の崩壊、土石流などによる災害が多発しているが、一般に降雨によって発生する山崩れの多くは、雨水の過度の浸透により、斜面表層がスベリ崩壊を起こすことが原因であるとされる。

著者らは降雨による浸透水の斜面安定に及ぼす影響に着目して、降雨→浸透→斜面崩壊のプロセスの上での不安定条件を解明することを主眼とし、その機構を理論的に把握することを目的に、昭和36年6月豪雨による小渋川流域の山腹崩壊調査結果と比較してその適用性の検討を行った。

2. 流域の概況と浸透実験

研究の対象として選んだ流域は天童川小渋川流域 (Fig-1) である。

本流域は面積290km²、標高差は2,000mほどなる複雑な流域である。流域の中央部南北に中央構造帯が走り、その東側には古生層、および片岩層、西側には花崗岩質の地質という複雑な様相を呈している。小渋川流域は山崩れの多発地域として知られ昭和36年6月の豪雨により各地で崩壊が発生した。Fig.2に示すのは崩壊個所の一例である。

著者らは、この流域における主要な地質について、それに沿ってライシメーターによる浸透能観測を実施し、その調査結果を整理検討した。これによると、中央構造帯より西侧の花崗岩地帯における浸透能は大きく、地表面勾配40°でも降雨強度30mm/hrに対しても全量浸透する能力を有し、連続降雨100~300mmに対しても全量浸透していることがわかる。一方、片岩帯土質では、めぐりやすく、5mm/hr以下の降雨でも、その一部は表面流出部分に残っている。この流域において花崗岩地帯の崩壊が多いことが認められているが、浸透能の特性からも浸透水が崩壊に対して大きな要素を示すものであるといえよう。

3 山腹斜面浸透流について

山腹斜面に浸透した水は固結粘土、母岩などの不透水層に到ると、ここで貯留され一定の法則に従って斜面下方に移動すると考えられる。斜面浸透流のモデルをFig.3のように考え、この表層内の水の運動がDarcy則によるものとすれば

$$\text{運動方程式 } \nabla = k(\frac{\partial H}{\partial x} - \sin\theta) \quad \text{①} \quad \text{連続式 } \frac{\partial(H)}{\partial x} = -\frac{\partial(H)}{\partial t} + f \cos\theta \quad \text{②}$$

$$\text{①②式より } \frac{\partial(H)}{\partial t} = KH \frac{\partial^2 H}{\partial x^2} + k \frac{\partial H}{\partial x} \sqrt{\frac{\partial H}{\partial x}} - \sin\theta + f \cos\theta \quad \text{③}$$

ここで K : 透水係数 f : 有効間隙率 θ : 浸透能 α : 斜面角
 H : x 軸における水深 x : 斜面下方への距離

この式において、浸透能の時間的変化 f を与えることにより任意時刻の浸透流水深を求めることができる。いま、斜面を直線に沿って一定の値を持つと仮定した時、 K, θ の変化によって浸透流がどのように変化するかを考えよう。簡単のため $\theta = 15, 30, 45^\circ$ 且 $K = 10 \sim 10^4 \text{ cm/sec}$ $f = 1$ とした時

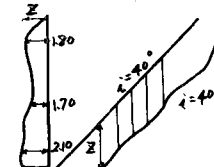


Fig-2 崩壊例

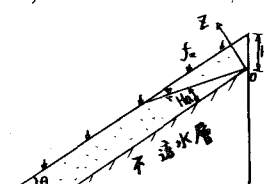


Fig-3 斜面浸透流モデル

浸透流の算式は次のようにある。すなへて、透水係数 K が 10^2 cm/sec 以下では、斜面角 θ の値に關係なく $\Sigma f_{\text{cohesion}}/\gamma$ の浸透流水深をもつて、見掛け上、地表面と平行な流れとなる。いふ。

一方、 K が 10^2 cm/sec より大きい場合には、浸透した降雨は斜面下方への移動速度が大きくなる。 $(\Sigma f_{\text{cohesion}}/\gamma)$ によって表わすことができる。③式によつてそれが求めなければならない。

4 浸透流とすべり破壊

斜面表層の中を浸透水が流下すると、浸透水の間隙圧に対する影響により、表層と不透水層との接触面上において応力状態が変化し、表層全体がすべり破壊を起すことがある。表層と不透水層の接触面上における応力状態を表わすと Fig-4において A 点の直応力 σ

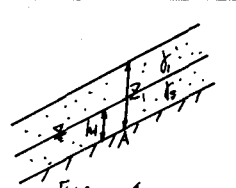
$$\sigma = f_{\text{c}} K_0 \cos^2 \theta + Y_s h \cos^2 \theta \quad \dots \dots \quad ④$$

$$\tau = f_{\text{c}} K_0 \cos \theta \sin \theta + Y_s h \cos \theta \sin \theta \quad \dots \dots \quad ⑤$$

$$\text{間隙水圧 } u = Y_s h \cos^2 \theta \quad (\text{それが } z \text{ から } z-h \text{ の直応力 } \sigma = f(z-h) K_0 \cos^2 \theta + Y_s h \cos^2 \theta) \quad ⑥$$

⑤⑥式をフーロンの式に代入し、整理簡便表示をすると

$$\frac{\tau}{c} = \frac{1.0 - \frac{h k_0}{c} \left(\frac{f(z-h)}{f_z} \right) \tan \theta - \left(\frac{f_z - f(z-h)}{f_z} \right) \tan \phi + \cos \phi}{\cos^2 \theta (\tan \theta - \tan \phi)} \quad \dots \dots \quad ⑦$$



z : 限界表層厚 h : 浸透流水深, K_0 : 湿潤土の単位重量, Y_s : 干燥土の単位重量

$f_z = Y_s - K_0$ ϕ, c : A 点における摩擦角、粘着力

⑦式を図式表示すると Fig-5 のようになる。すなへて前項で述べた、浸透流水深の無次元量 h/c をパラメーターとして、限界表層高(z/c)と中の関係を表示されていく。

浸透流のない場合には $h/c = 0$ で示され、この曲線より、表層厚が高くなるには崩壊に対する危険領域、低くなるのは安全領域であるといふことになります。

例えず、降雨により浸透流水深 $h/c = 0.5$ が生じたとする時 Fig-5 の破壊を示すような曲線となり、斜線の部分が新たなに崩壊に対する危険領域部分となつたといふことができます。すなへど、これが浸透水のすべり破壊の影響を示す部分である。

5 適用例

これまで述べた基礎的な考え方を小渋川流域の崩壊例に適用した。昭和36年6月豪雨は連続雨量 $100 \sim 150 \text{ mm}$ あり (2)項で述べたように花崗岩地帯では、降雨の大半が土のまま地中に浸透した上に考慮される。有効間隙率 $\gamma = 0.2$ であるので (3)項で述べたように $h = 50 \text{ cm} = 0.5$ となる。粘着力 $C = 1.0 \text{ kg/cm}^2$ 、内部摩擦角 $\phi = 20^\circ$ とする。この時のすべり崩壊限界高は(7)式より $z/c = 3.0$ すなへどすべり崩壊限界高 $z/c = 1.67$ となり、この表層厚は崩壊時の表層厚とほぼ一致している。

この他 2, 3 の例についても同様の論議がなされる、今後、この他の流域について多くのデータを検討して、山崩れ発生予測の可能性を追求したいと考えていふ。

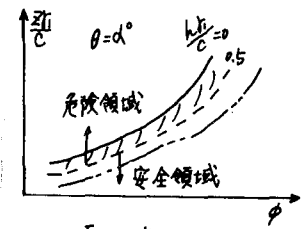


Fig-5